

洗脱,由于检测波长较低,甲醇有末端吸收,用甲醇-水为流动相基线波动较大,选用乙腈-水系统可以消除溶剂的干扰,基线较平稳且色谱峰有较好的分离。使用等度洗脱时,有效成分出峰时间长且分离效果不够理想,梯度洗脱在60 min内可使色谱峰全部洗出,且多数峰达到基线分离。

3.3 本实验采用二级管阵列检测器对指纹图谱的检测波长进行了选择,从200~400 nm进行了紫外扫描,200、203 nm处所包含的信息量最大,同时各峰的响应较大,但是由于200 nm波长较短,基线波动较大,影响色谱峰型和分离度,所以选择203 nm为测定波长。另外在0~4 min时由于溶剂的影响以及色谱峰在203 nm的响应太大使色谱峰很难达到分离,所以选择波长为230 nm,可以改善各峰的分离度和峰形。

3.4 土贝母为单品种来源,主要考察产地的影响。不同产地土贝母药材所含各有效成分基本相同,但是各成分的量差别较大。由聚类结果可以看出,15个样品大致可以分为3大类,从地理分布考虑:第A

类样品的产地是陕西、宁夏、甘肃、青海,这些地区都属于西北地区气温较低且比较干燥;第B类样品的产地是河南、河北、山东、安徽、山西、四川、湖北,这些地区气温比较适中,并且此类又可分为两类,四川、湖北为一类与其他产地分开,说明四川、湖北的气候与其他产地有所不同,从而影响了土贝母药材的质量;第C类样品的产地是云南,气温较高且潮湿。由于药材的生长受到温度、光照和湿度的影响,所以不同产地的土贝母之间的内在质量存在一定的差异。由此可见如果要保证药材的一致性,应注意药材的产地。

References:

- [1] Ch P (中国药典) [S]. Vol I. 2005.
- [2] Yu L J, Ma R D, Yu T X. Anti-tumor effect of tubeimosides I and II isolated from *Bolbostemma paniculatum* [J]. China New Drugs (中国新药杂志), 2002, 11(9): 692-694.
- [3] Wei Y L, Liang X M, Xu C G, et al. HPLC for determining tubeimuside I in *Bolbostemma paniculatum* [J]. Northwest Pharm J (西北药学杂志), 2000, 15(3): 107-108.
- [4] Miao A D, Sun D J. Application of microsoft excel 2002 to calculate the similarity in fingerprints of Chinese herbs [J]. Prog Pharm Sci (药学进展), 2003, 27(1): 51-54.

白术药材的指纹图谱研究

黎琼红,马兴田,谢晨,龚秀琦

(广东康美药业股份有限公司,广东 普宁 515300)

摘要:目的 建立白术药材的高效液相指纹图谱分析方法。方法 采用Dikma Kromasil C₁₈(250 mm×4.6 mm, 5 μm)色谱柱,以乙腈-水梯度洗脱(45%~100%乙腈),体积流量为1.0 mL/min,柱温25℃,检测波长242 nm。结果 通过对13批不同产地的白术样品的测定,标定了24个共有峰,并通过“中药指纹图谱计算机辅助相似度软件”和聚类分析等辅助手段,计算相似度等相关参数。结论 该方法准确可靠,重现性好,为更好地控制白术内在质量提供了科学依据。

关键词:白术;指纹图谱;高效液相色谱

中图分类号:R282.7

文献标识码:A

文章编号:0253-2670(2007)06-0929-03

Fingerprints of *Rhizoma Atractylodis Macrocephala*

LI Qiong-hong, MA Xing-tian, XIE Chen, GONG Xiu-qi

(Guangdong Kangmei Pharmaceutical Co., Ltd., Puning 515300, China)

Key words: *Rhizoma Atractylodis Macrocephala*; fingerprint; HPLC

白术为菊科植物白术 *Atractylodes macrocephala* Koidz. 的干燥根,主产于浙江、安徽、湖北、湖南等省。其味甘、苦性温,具有健脾益气、燥湿利水、止

汗、安胎的功效^[1]。主要含有挥发油成分和内酯类成分。为控制和保证产品质量的稳定性,本实验依据国家药品监督管理局颁布的《中药注射剂指纹图谱研

究的技术要求(暂行)》和国家药典委员会印发的《中药注射剂指纹图谱实验研究技术指南(试行)》对13批不同产地药材进行了指纹图谱测定,该方法可操作性强,重现性好,为更好地控制白术药材质量提供了科学依据。

1 仪器与试药

美国 Agilent 1100 高效液相色谱仪,二级阵列检测器,1100 色谱工作站。乙腈和甲醇均为色谱纯,水为纯净水。13 批样品分别为浙江、安徽、江西、湖南、湖北的药材,药材来源见表 1(13 批样品是专人采集,经江西中医药学院龚千峰教授鉴定为《中国药典》规定的正品白术)。

表 1 13 批药材产地和批号

Table 1 Source and lot numbers of 13 batches of
Rhizoma Atractylodis Macrocephalae

样品	来 源	批 号	样品	来 源	批 号
S1	江西修水	051110	S8	浙江磐安	041012
S2	江西修水	060615	S9	重庆酉阳	051126
S3	浙江东阳	060602	S10	湖南岳阳	050605
S4	浙江缙云	060602	S11	湖北利川	051130
S5	浙江磐安	060526	S12	浙江金华	050625
S6	浙江新昌	060526	S13	湖北恩施	051201
S7	浙江缙云	051225			

2 方法和结果

2.1 色谱条件:Dikma Kromasil C₁₈(250 mm×4.6 mm,5 μm)色谱柱,以乙腈为流动相A,以水为流动相B,梯度洗脱程序为(A):0~25 min,45%~80%;25~40 min,80%~100%;40~55 min,100%。体积流量为1.0 mL/min,柱温25℃,检测波长242 nm。

2.2 供试品溶液的制备:精密称取白术药材粗粉约2 g,置于锥形瓶中,精密加入甲醇40 mL,密塞,称质量。超声30 min后放冷,称质量,补足减失质量。滤过,吸取续滤液,过0.45 μm滤膜,即得。

2.3 测定方法:分别精密吸取参照物溶液和供试品溶液10 μL,注入液相色谱仪,记录55 min的色谱图,即得。供试品色谱图中,以色谱峰(S峰)的保留时间和峰面积为1,计算各指纹峰的相对保留时间和峰面积比值。

2.4 分析时间考察:吸取供试品S8溶液10 μL,注入高效液相色谱仪,运行120 min,记录色谱图,发现55 min以后已无明显色谱峰,因此分析时间为55 min。

2.5 空白试验:吸取甲醇空白溶液10 μL,注入高效液相色谱仪,记录色谱图,结果溶剂出峰少,对检测基本无干扰。

2.6 精密度试验:取同一批供试品溶液,连续进样6次,分别对共有峰的相对保留时间和峰面积比值进行考察。结果表明,各共有峰的相对保留时间RSD小于0.1%,峰面积比值RSD小于2.0%,符合指纹图谱分析要求。

2.7 重现性试验:取供试品药材粉末6份,制备供试品溶液,分别对共有峰的相对保留时间和峰面积比值进行考察。结果表明,各共有峰相对保留时间RSD小于0.1%,峰面积比值RSD小于3.0%,符合指纹图谱分析要求。

2.8 稳定性试验:取供试品溶液分别于0、3、6、9、12、15、18、21、24 h进样分析,考察共有峰的相对保留时间和峰面积比值。结果表明,各共有峰相对保留时间RSD小于0.1%,峰面积比值RSD小于4.0%,表明供试品溶液在24 h内基本稳定。

2.9 指纹图谱相似性评价^[2]:分别将13批样品进样分析,记录色谱图,保留时间(t_R)为36.13 min的峰面积均较稳定,且分离度好,设为参照物峰S,以其保留时间和峰面积为1,计算各峰的相对保留时间(α/Tr)和峰面积比值。图1为13批白术药材的指纹图谱。

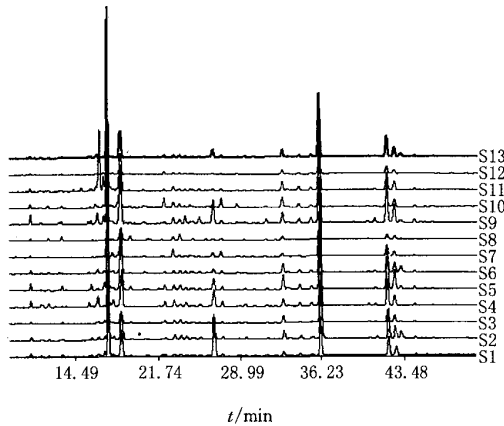


图 1 13 个不同产地样品指纹图谱

Fig. 1 Fingerprints of samples from 13 habitats

2.9.1 聚类分析:将样品所有出峰的相对保留值导入SPSS软件,以余弦夹角作为距离测度方式,建立样品间相似性聚类。结果见图2。将各类之间的距离标定至1~25,可见在距离约为5~10时,可将样品分成4类,除S8、S1、S11自成一类外,其他样品具有较好的相似性,归于一类,而在3~5,S2、S6、S5、S9、S13较相似,S10、S12、S4、S7较相似。将S8、S1、S113批排除,其他10批样品参与共有模式的建立。

2.9.2 共有模式的建立及相似性分析:依据聚类分析后的结果,将10批药材出峰数据导入“中药指纹

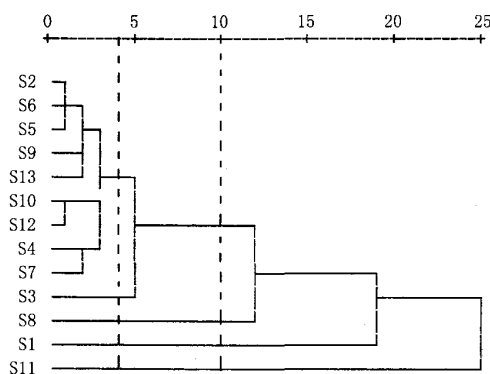


图 2 13 批样品聚类分析树状图

Fig. 2 Dendrogram of hierarchical clustering analysis for 13 samples

图谱计算机辅助相似度计算软件”,经过峰点校正和数据匹配,以中位数法建立对照指纹图谱即共有模式,见图3。各样品与共有模式之间的相似度在0.95以上,结果见表2。结合样品出峰情况及匹配结果,有24个峰为10批样品共有,但在各产地中丰度差异较大。其他各峰在不同产地中出现率差异较大。确定该24个峰为共有峰,其相对保留时间和相对峰面积范围结果见表3。经统计共有峰面积占总峰面积百分比为93.27%~98.30%,非共有峰面积与总峰面积的百分比为2%~7%。符合指纹图谱研究的非共有峰占总峰面积百分比<10%的技术要求。

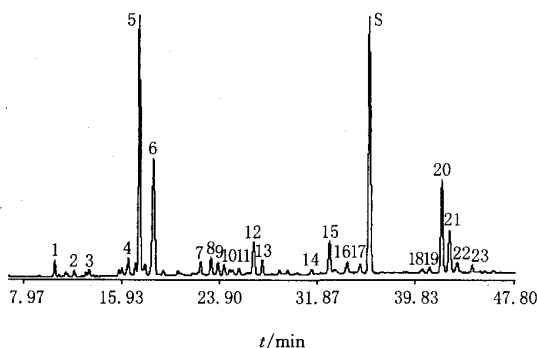


图 3 白术药材共有模式指纹图谱

Fig. 3 Reference fingerprint of *Rhizoma Atractylodis Macrocephalae*

表 2 10 批样品的相似度结果

Table 2 Similarity of ten samples

样 品	相 似 度	样 品	相 似 度
S2	0.99	S7	0.98
S3	0.978	S9	0.988
S4	0.977	S10	0.982
S5	0.996	S12	0.98
S6	0.995	S13	0.989

表 3 10 批白术样品共有峰

Table 3 Common peaks of ten batches of *Rhizoma Atractylodis Macrocephalae* samples

峰号	相 对 保 留 时间	相 对 峰 面 积	峰号	相 对 保 留 时间	相 对 峰 面 积
1	0.291	0.019~0.069	13	0.758	0.027~0.173
2	0.335	0.006~0.057	14	0.870	0.011~0.039
3	0.369	0.007~0.027	15	0.910	0.099~0.174
4	0.456	0.019~0.148	16	0.950	0.032~0.065
5	0.481	0.482~0.994	17	0.979	0.027~0.057
6	0.512	0.305~0.624	S	1.000	1.000
7	0.618	0.009~0.139	18	1.118	0.004~0.026
8	0.641	0.035~0.207	19	1.134	0.008~0.032
9	0.657	0.031~0.081	20	1.162	0.258~0.408
10	0.670	0.017~0.065	21	1.179	0.153~0.189
11	0.704	0.012~0.057	22	1.196	0.011~0.129
12	0.738	0.023~0.292	23	1.229	0.021~0.030

3 讨论

3.1 本实验用梯度洗脱的方法使白术药材得到了较好的分离。对13批药材进行测定和聚类分析,结果表明3批差异大不归入一类,其他10批相似,但各峰量上表现出较大差异,可初步分为3类。全面考虑各产地因素,因此筛选该10批样品参与共有模式的建立。经过比较各样品的出峰情况,标定了24个特征峰,建立白术指纹图共有模式。各样品之间的相似度均在0.9以上,与共有模式的相似度均在0.95以上,说明样品间整体出峰相似,以这些样品建立共有模式较为可靠。通过实验证实该测定方法稳定,可用于白术药材真伪鉴别。

3.2 色谱条件优化:对甲醇-水、0.5%磷酸水-乙腈、乙腈-水系统进行了考察,结果表明乙腈-水系统分离良好,峰形佳,故选择乙腈-水系统进行梯度洗脱;比较了203、220、242、276、300 nm 5个波长下的色谱图,发现203和300 nm峰信号少,220和276 nm处有几个出峰信号大,但其他峰信号太小,而242 nm处出峰多且信号整体较为明显,因此选择242 nm为检测波长。

3.3 供试品提取方式选择:分别考察了甲醇、乙醇、醋酸乙酯、丙酮等不同提取溶剂,超声、回流等不同提取方式,并进行了提取时间为30 min、1 h、2 h,提取次数为一次、两次的考察,结果表明,以甲醇超声30 min一次即可提取完全,与长时间的提取结果相差很小,因此确定该提取方法。

References:

- [1] Ch P (中国药典) [S]. Vol 1. 2005.
- [2] Ma L Y, Lu W H. HPLC Fingerprint of *Herba Galii Veri* [J]. Chin Tradit Herb Drugs (中草药), 2006, 11(37): 1723-1726.

白术药材的指纹图谱研究

作者: 黎琼红, 马兴田, 谢晨, 龚秀琦, LI Qiong-hong, MA Xing-tian, XIE Chen, GONG Xiu-qi
作者单位: 广东康美药业股份有限公司, 广东, 普宁, 515300
刊名: 中草药 [ISTIC PKU]
英文刊名: CHINESE TRADITIONAL AND HERBAL DRUGS
年, 卷(期): 2007, 38(6)
被引用次数: 9次

参考文献(2条)

1. 中华人民共和国药典(一部) 2005
2. Ma L Y;Lu W H HPLC Fingerprint of Herba Galii Veri[期刊论文]-中草药 2006(11)

本文读者也读过(8条)

1. 段启, 马兴田, 李彩萍 白术GC-MS指纹图谱研究[期刊论文]-中草药2008, 39(8)
2. 叶燕, 程雪梅, 俞桂新, 王峰涛 白术药材HPLC指纹图谱研究[期刊论文]-江苏中医药2009, 41(4)
3. 于超, 阳勇, 刘世尧, 白志川, 张小梅, 王婷婷, YU Chao, YANG Yong, LIU Shi-yao, BAI Zhi-chuan, ZHANG Xiao-mei, WANG Ting-ting 白术药材HPLC色谱指纹图谱研究[期刊论文]-中草药2006, 37(5)
4. 左坚, 纪从兰, ZUO Jian, JI Cong-lan 白术高效毛细管电泳指纹图谱的建立和产地差异分析[期刊论文]-现代中药研究与实践2008, 22(1)
5. 黄艳萍, 袁萍, HUANG Yan-ping, YUAN Ping 白术不同炒制品HPLC指纹图谱研究[期刊论文]-中国实验方剂学杂志2010, 16(7)
6. 魏海, 曹建敏, 王巧娥 中药川芎的指纹图谱分析[期刊论文]-现代中药研究与实践2004, 18(z1)
7. 田兰, 毕开顺, 孙稳健, 赵少春, 武国芳, 吕颖 白术的化学模式识别[期刊论文]-中国中药杂志2003, 28(2)
8. 王宁, 左坚 不同产地白术中主要化学成分的含量比较[期刊论文]-中国中医药现代远程教育2010(18)

引证文献(9条)

1. 黄艳萍, 袁萍 白术不同炒制品HPLC指纹图谱研究[期刊论文]-中国实验方剂学杂志 2010(7)
2. 马鞭草HPLC-PDA指纹图谱研究[期刊论文]-中草药 2009(12)
3. 陈伟薇, 李俊, 宋珏, 李飞龙 玉屏风药材汤剂HPLC指纹图谱的建立[期刊论文]-安徽医科大学学报 2010(2)
4. 陈向东, 张光大, 兰小勇, 刘法锦, 魏梅 HPLC指纹图谱对白术药材的质量评价研究[期刊论文]-中药材 2013(2)
5. 白岩, 陈磊, 王晓妮, 杨潮锋, 何福基, 田薇 白术不同采收期内酯 I、II 和III量的动态变化研究[期刊论文]-中草药 2010(1)
6. 纪明慧, 李国伟, 郭飞燕, 杨淑玉, 李钻丹 海南黄灯笼辣椒中辣椒碱的含量测定[期刊论文]-中国调味品 2011(8)
7. 张礼菊 色谱指纹图谱在中药质量标准体系中的应用[期刊论文]-安徽医药 2009(11)
8. 寿旦, 戴诗文, 章建民, 李洪玉, 俞忠明 微管液相色谱法同时测定白术中的白术内酯III、白术内酯I和苍术酮[期刊论文]-色谱 2008(5)
9. 朱秀卿, 阎克里, 赵丽 白术挥发油中极性和非极性成分的高效液相色谱法特征图谱研究[期刊论文]-中国药物与临床 2011(8)